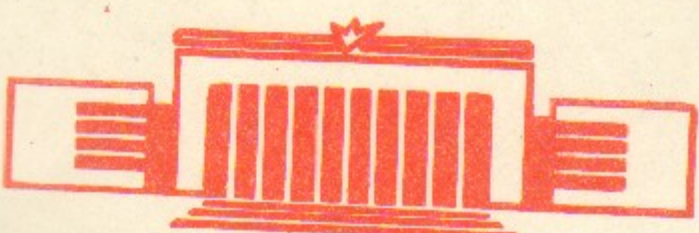


ИНСТИТУТ ЯДЕРНОЙ ФИЗИКИ
СО АН СССР

Ф.М.Израильев, М.И.Рабинович,
А.Д.Угодников

СТРУКТУРА СТОХАСТИЧНОСТИ
ПАРАМЕТРИЧЕСКИ ВОЗБУЖДАЕМЫХ
НЕЛИНЕЙНЫХ ОСЦИЛЛЯТОРОВ

ПРЕПРИНТ 82-70



Новосибирск

СТРУКТУРА СТОХАСТИЧНОСТИ ПАРАМЕТРИЧЕСКИ
ВОЗБУЖДАЕМЫХ НЕЛИНЕЙНЫХ ОСЦИЛЛЯТОРОВ

Ф.М.Израйлев, М.И.Рабинович, А.Д.Угодников

Аналитически и численно исследуется поведение параметрически возбуждаемого нелинейного осциллятора с трением:

$$\ddot{x} + x + x^3 + \gamma \dot{x} = -\alpha x \cos \Omega t$$

где γ , α , Ω – параметры системы, $\gamma > 0$. Основное внимание уделяется условиям возникновения и стохастическим свойствам стохастических колебаний в зависимости от величины хаусдорфовой размерности притягивающего множества. Показывается, что при малой диссипации возникающая стохастичность близка к гамильтоновой, а при большой – аналогична стохастическим аттракторам для одномерных отображений.

Исследование стохастического поведения параметрически возбуждаемых нелинейных осцилляторов представляет интерес, как с точки зрения общих свойств стохастичности нелинейных неавтоматических систем, так и для разнообразных приложений (например, в связи с возможностью стохастического нагрева заряженных частиц [1,2]. В настоящем докладе на примере двух часто встречающихся моделей

$$\ddot{x} + x + x^3 = \zeta(x, \dot{x}, t) \quad (1)$$

$$\ddot{x} - x + x^3 = \zeta(x, \dot{x}, t) \quad (2)$$

где $\zeta(x, \dot{x}, t) = -q x \cos \Omega t - \gamma \dot{x}$, аналитически и численно исследуется механизм возникновения стохастичности, ее спектральные свойства, структура стохастического множества в фазовом пространстве и их взаимосвязь. Как оказалось (см., также [3]), одним из параметров, характеризующим свойства стохастичности, может служить размерность стохастического множества, которая для диссипативных систем оказывается дробной (хаусдорфова или фрактальная размерность [4-6]). В нашем случае эта размерность выражается через среднюю скорость разбегания близких траекторий $\lambda^+ [3,6]$ и равна ^{*}

$$d = \lambda^+ / (\lambda^+ + \gamma) + 1 \quad (3)$$

Мы обнаружили, что эта величина определяет близость статистических свойств стохастического аттрактора либо к гамильтоновой стохастичности (при $d \leq 2$), либо к демонстрирующему хаотическое поведение одномерному отображению (при $d \geq 1$).

Как показал численный эксперимент, в системе (1) стохастический аттрактор возникает при $q > 4$, $\gamma > 0,4$ и при $d \geq 1$ хорошо описывается [3] одномерным отображением (подобный аттрактор был получен также в [13]). При приближении (по параметрам

q и γ) к границе возникновения стохастичности, которой соответствовал "одномерный" аттрактор, наблюдались бифуркации удвоения периода, а непосредственно вслед за критической точкой было обнаружено универсальное поведение: $\lambda^+ \sim (C - C_{kp})^{0.45}$ где C – произвольная линейная комбинация параметров q и γ .

^{*}) Имеется в виду размерность на секущей ($x, \dot{x} \in \mathbb{Y}$).

Типичный вид аттрактора, близкого одномерному, приведен на рис.1. Процесс образования такого аттрактора можно представить следующим образом. Во время бифуркаций удвоения притягивающее множество (цикл периода $2^{\frac{p}{n}}$) растет в том направлении, которое соответствует мультипликатору, проходящему через - 1. Это направление, так же как и направление сжатия, меняется мало (вследствие уменьшения "окон" значений параметра, соответствующих циклам периода $2^{\frac{p}{n}}$, в геометрической прогрессии). В результате притягивающее множество при критическом значении параметра лежит на нескольких кривых. Далее происходят бифуркции слияния, и в итоге эти кривые сливаются в одну (параллельно происходит расслоение этой кривой).

Когда же диссипация мала $\chi \ll 1$, а накачка велика $q \gg 1$ ($q > 25$), стохастический аттрактор возникает из уже имеющегося гамильтонового ($\chi = 0$) стохастического множества, которое образовалось в результате перекрытия на плоскости (x, y) нелинейных резонансов [II]. Каждому резонансу в фазовом пространстве (I) соответствует внутренность некоторого тора. С ростом q эти торы расширяются, и при соприкосновении разрушаются – резонансы перекрываются. В нашем случае первыми перекрываются резонансы $\omega(I) = \Omega/2$ и $\omega(I) = \frac{2}{3}\Omega$ (I – действие для невозмущенной $\dot{x} = 0$ системы). На секущей при этом возникает широкий стохастический слой. С увеличением q начинают перекрываться резонансы $\omega(I) = m\Omega$ с целыми m . На рис.2а ясно видны четыре островки устойчивости, соответствующие не полностью перекрывающимся резонансам $\omega(I) = m_{1,2}\Omega$ с $m_{1,2} \gg 1$. Все точки соответствуют одной траектории, полученной за время $t = 5 \cdot 10^4 T$. При введении очень слабой диссипации эти островки становятся притягивающими – стохастическое движение вырождается (см. [12]). Однако уже при небольшом увеличении островки устойчивости разрушаются и возникает стохастический аттрактор с $d \leq 2$, занимающий практически ту же большую область в фазовом пространстве системы, что и в гамильтоновом случае (см. рис.2б).

Для сравнения статистических характеристик системы (I) при различных значениях d были вычислены спектры мощности и амплитуды. Амплитудный спектр оказался более информативным. Вычислялась также интегральная шумовая плотность мощности $N = \int_0^\infty |X(\bar{\omega})|^2 d\bar{\omega}$ где $X(\bar{\omega})$ – шумовая составляю-

щая амплитудного спектра, $\bar{\omega} = \omega/\omega_0$; $\omega_0 = \frac{2\pi}{\Omega}$. Соответствующие результаты представлены на рис.3,4. Зависимость $N(d)$ в интервале $d \in (1.9, 2.0)$ не определена, поскольку в этой области параметров стохастичность является переходной – существуют притягивающие островки устойчивости. Стохастические характеристики движения на аттракторе оказались близкими к характеристикам одномерного отображения при $d \leq 1.3$ (см. [3]), и к характеристикам гамильтоновой стохастичности при $d \geq 1.8$.

К аналогичным результатам приводят исследование системы (2). Подчеркнем, что при $q \gg 1$, $x \gg 1$ свойства стохастического поведения (I) и (2) практически совпадают. На фазовой плоскости (2) при $\dot{x} = 0$ имеется сепаратрисная "восьмерка". При $\dot{x} \neq 0$ сепаратриса разрушается, превращаясь либо в гомоклиническую структуру со счетным множеством неустойчивых циклов, либо в устойчивые циклы. Если внутри гомоклинической структуры имеются устойчивые циклы (их области притяжения обычно малы), движение может быть стохастическим только при ограниченном наблюдении – переходная стохастичность [12]. При $t \rightarrow \infty$ траектория вырождается в цикл. Если же устойчивых циклов нет, то движение соответствует стохастический аттрактор. Аналитически можно показать только существование гомоклинической структуры, отсутствие же устойчивых циклов очевидно лишь для $\chi = 0$. При $\chi \neq 0$ необходим численный анализ. В этом случае можно воспользоваться критерием Мельникова, который сводится к проверке знакопеременности функции $\Delta(t_0)$ [7]. Для (2) эта функция записывается в виде (аналогично [8,9])

$$\Delta^{(1)}(t_0) = \int_{-\infty}^{\infty} \{ \chi \dot{y}_0(t-t_0) - q x_0(t-t_0) \dot{y}_0(t-t_0) \cos \Omega t \} dt \quad (4)$$

где $\dot{y}(t) = dx/dt$, а $x_0(t-t_0)$, $y_0(t-t_0)$ – координата и импульс, соответствующие невозмущенной траектории. В результате найдем

$$\Delta^{(1)}(t_0) = \frac{4}{3} \chi - \frac{\pi \Omega^2 q}{\sin(\Omega t_0/2)} \cdot \sin \Omega t_0 \quad (5)$$

В гамильтоновом случае ($\chi = 0$) функция $\Delta^{(1)}(t_0)$ знакопеременна при произвольной глубине модуляции q . Для диссипативного же осциллятора гомоклиническая структура проявляется лишь при $q > q_{kp}$, где

$$q_{kp_1} = \left(\frac{4\gamma}{3\pi\Omega^2} \right) \cdot \text{Sh}(\pi\Omega/2) \quad (6)$$

Как показал численный эксперимент, стохастический аттрактор возникает при значениях $q > q_{kp_1} > q_{kp_2}$. Так, например, при $\gamma > 0,2$ необходимо, чтобы $q > q_{kp_2} = 0,25$, для меньших $q_{kp_1} < q < q_{kp_2}$ наблюдалась лишь переходная стохастичность.

Л и т е р а т у р а

- 1. J.Y.Hsu, K.Matsuda, M.S.Chu, T.H.Tensen, Stochastic Heating of a Large-Amplitude Standing Wave, Phys.Rev.Lett., 43, 1979, 203-206.
- 2. F.F.Karney, A.Bers, Stochastic Behavior in Classical and Quantum Hamiltonian Systems, Lect. Notes in Physics, 93, 44-50, Springer-Verlag, 1979.
- 3. Ф.М.Израйлев, М.И.Рабинович, А.Д.Угодников. О приближенном описании диссипативных систем со стохастическим поведением. Препринт № I7, Горький, ИПФ АН СССР, 1981, 18 стр, Phys. Lett., 86A, № 6-7, 1981, 321-325.
- 4. B.B.Mandelbrot, Fractals: Form, Chance and Dimension, 365 p., Free man, 1977.
- 5. H.Mori, H.Fujisaka, Statistical Dynamics of Chaotic Flows, Progr. Theor. Phys., 63, Kyoto, "Nissha", 1980, 6, 1931.
- 6. D.A.Russel, T.D.Hanson, E.Ott, Dimension of Strange Attractors, Phys. Rev. Lett., 45, 1175-1178, 1980.
- 7. В.К.Мельников. Об устойчивости центра при периодических по времени возмущениях. Труды математического общества, 12, Москва, 1963, 3-52.
- 8. А.Д.Морозов. К вопросу о полном качественном исследовании уравнения Дюффинга. Журнал вычислительной математики и математической физики, 13, Москва, 1973, 5, II34-II52.
- 9. P.J.Holmes, A nonlinear oscillator with a strange attractor, Philosophical Transactions Royal Society, 292, London, 1979, 419-448.
- 10. M.J.Feigenbaum, A quantitative universality for a class of nonlinear transformations, Journal Statistical Physics, 19, N. 1, 25-52, 1978, 25-42.
- II. B.V.Chirikov, A universal instability of many dimensional oscillator systems, Physics Reports, 52, 1979, 263-379.
- I2. B.V.Chirikov, F.M.Izrailev, Degeneration of turbulence in simple systems, Physica 2D, 1981, 30.
- I3. I.Ito, Successive bifurcations and chaos in nonlinear Matheu equation, Progress of Theoretical Physics, 61, Kyoto, "Nissha", 1979, 815.

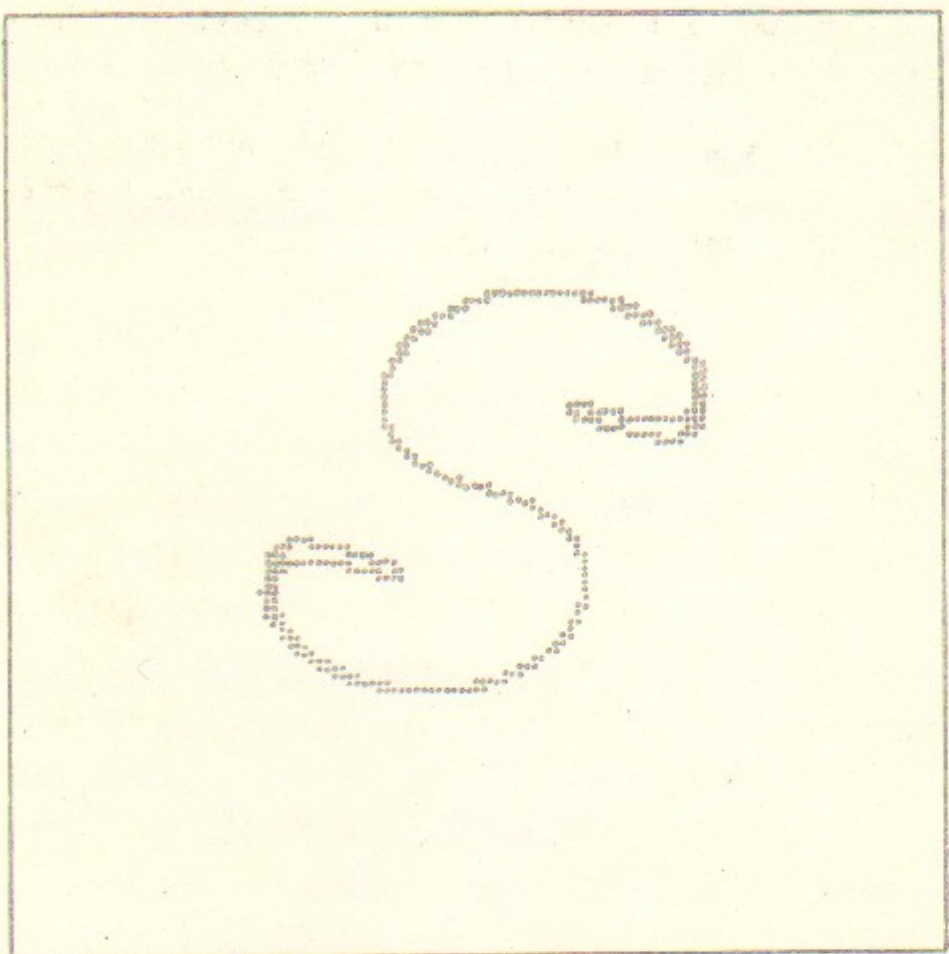


Рис.1. Фазовая плоскость (x, \dot{x}) уравнения (I), полученная через период $T = 2\pi/\Omega$. Размеры по вертикали $|\dot{x}| \leq 20$; по горизонтали $|x| \leq 5$. Центр соответствует $x = \dot{x} = 0$. Полное число периодов равно $\frac{t}{T} = 10^4$, $q_V = 17$, $\gamma = 0,9$, $\Omega = 2,04$; $d \approx 0,22$ (см. [3]).

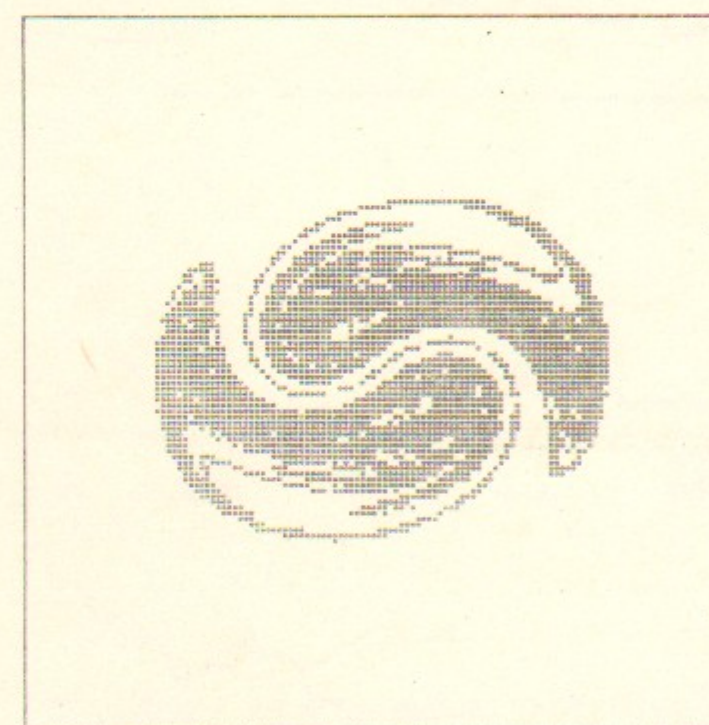
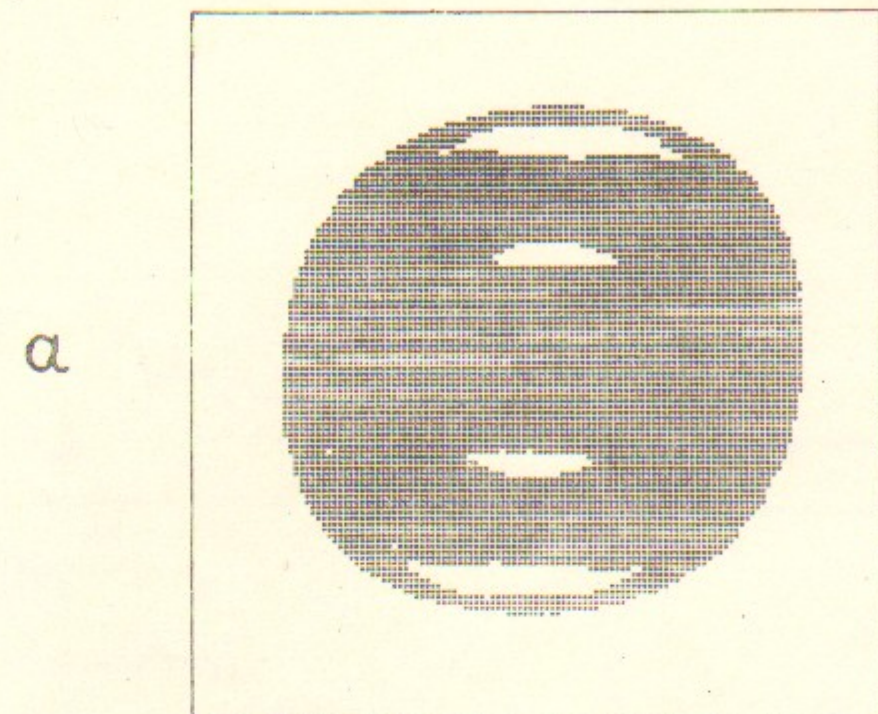


Рис.2. То же, что на рис.1 для параметров: $q_V = 25$; $\Omega = 2,04$; $|x| \leq 7$; $|\dot{x}| \leq 50$; $t = 2 \cdot 10^4 T$.
Рис.2а - стохастическое множество для гамильтонового случая: $\gamma = 0$; $d = 2$; рис.2б - стохастический аттрактор для $\gamma = 0,12$; $d \approx 1,78$.

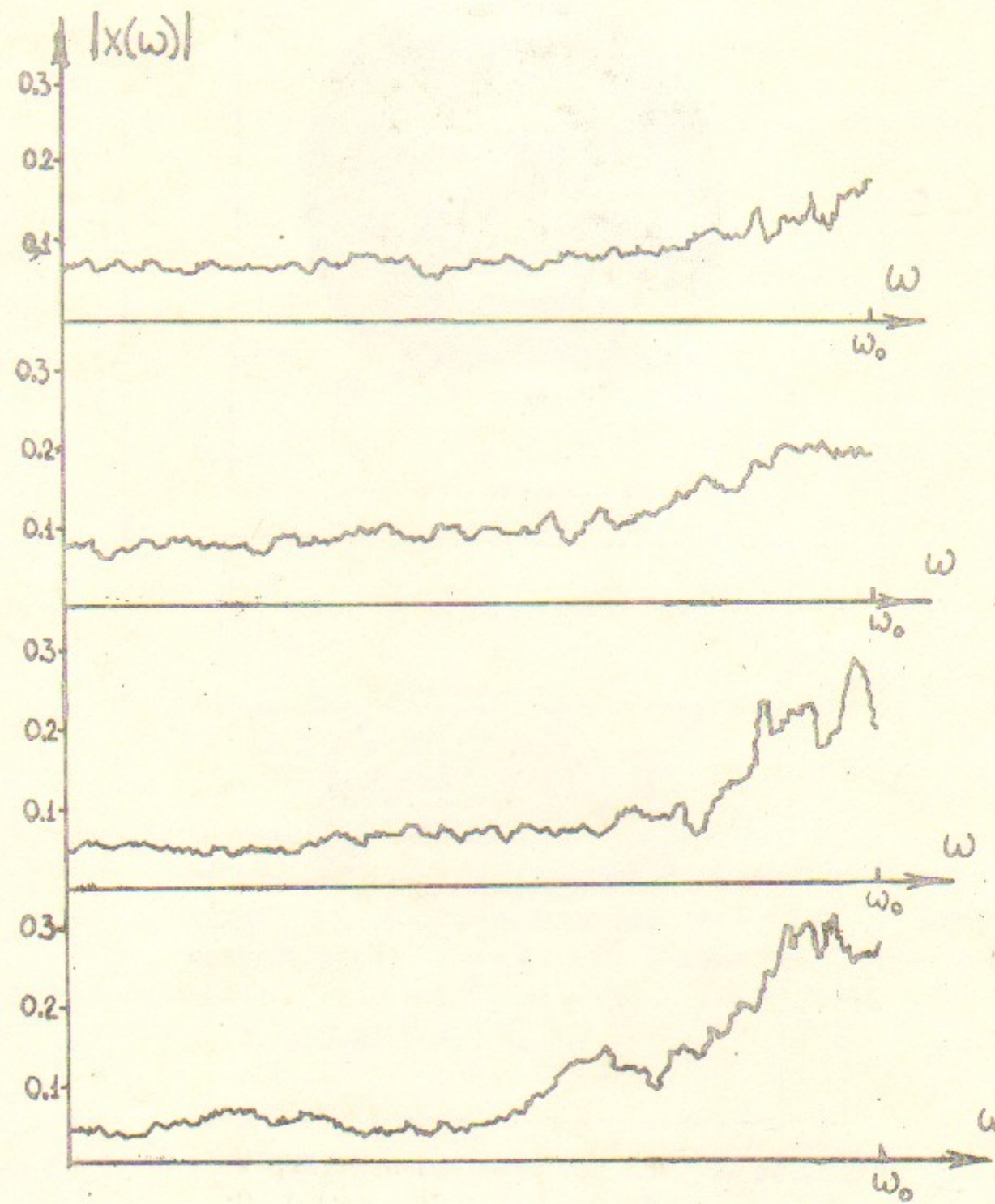


Рис.3. Амплитудные спектры величины $x(\omega)$ системы (I) в гамильтоновом и диссипативном случаях для $q_f = 25; \Omega = 2,04$; рис.: а) $\gamma = 0; d = 2$; б) $\gamma = 0,12; d = 1,54$; в) $\gamma = 0,30; d = 1,35$.

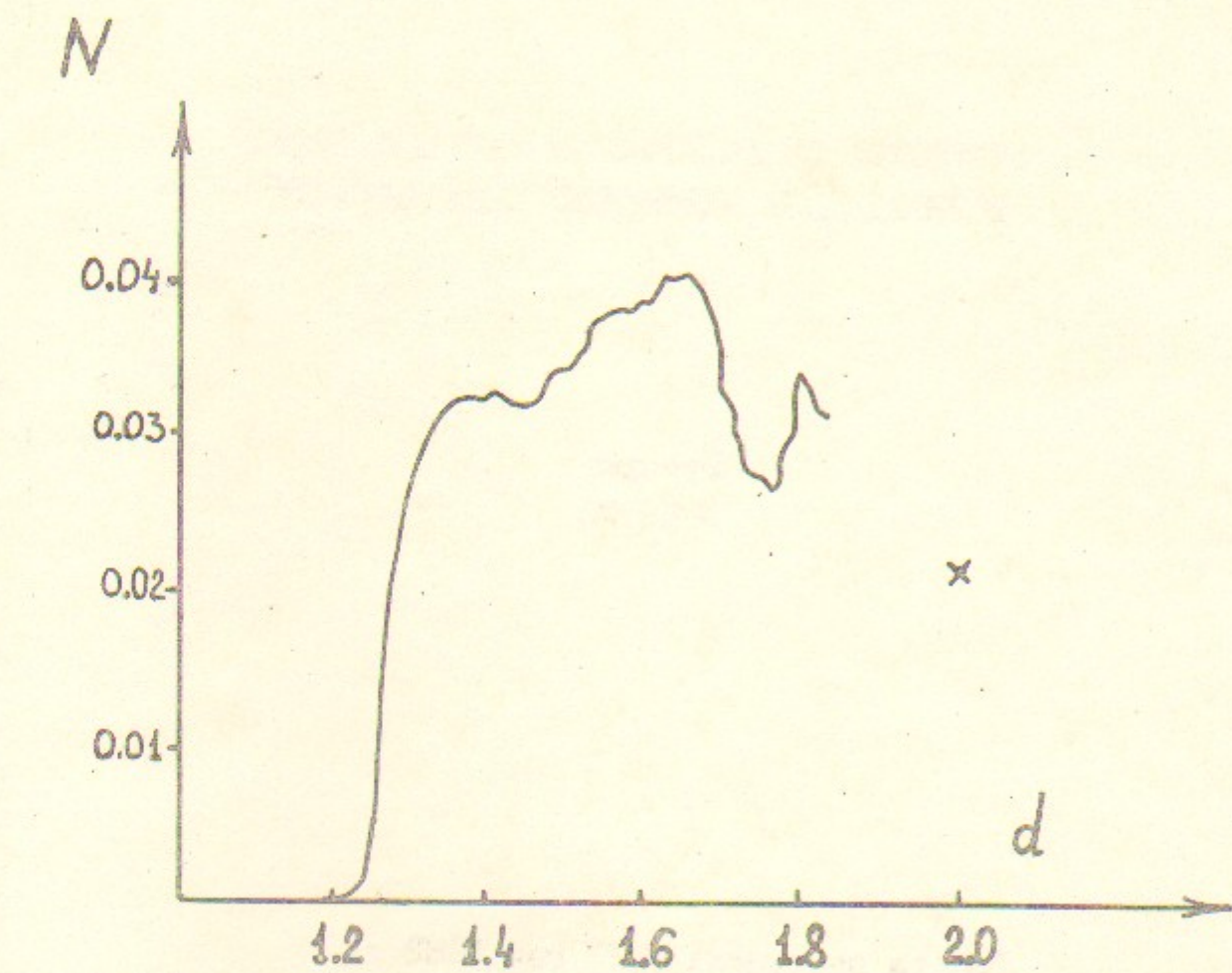


Рис.4. Зависимость интегральной плотности мощности $N(d)$ от хаусдорфовой размерности для $q_f = 50; \Omega = 2,04$; x - значение N при $d = 2$ (гамильтоновый случай).

Ф.М.Израйлев, М.И.Рабинович^{*)}, А.Д.Угодников^{**)}

СТРУКТУРА СТОХАСТИЧНОСТИ ПАРАМЕТРИЧЕСКИ
ВОЗБУЖДАЕМЫХ НЕЛИНЕЙНЫХ ОСЦИЛЛЯТОРОВ^{**)}

Препринт
№ 82-70

Работа поступила - 17 мая 1982 г.

Ответственный за выпуск - С.Г.Попов
Подписано к печати 26.05.1982 г. № 03330
Формат бумаги 60x90 1/16 Усл.0,6 печ.л., 0,5 учетно-изд.л.
Тираж 290 экз. Бесплатно. Заказ № 70

Ротапринт ИЯФ СО АН СССР, г.Новосибирск, 90